ВХОД ТЕЛА В ВОДУ ЧЕРЕЗ СЛОЙ ЛЬДА

САГОМОНЯН А. Я., ГАЕВСКАЯ Н. С.

Пусть тело имеет форму тонкого конуса с углом раствора 2у, перехолящего на высоле // в цилиндр. Рассмотрим вертикальное проникание такого тела в нолупространство, заполненное нодой, на поверхности которои лежит слой льда толщиной / До начала проникания лед и вода неподвижны, начальная скорость проникания / перпендикулярна свободной поверхности льда. Будем считать, что скорость меньше скорости звука в воде.

При движении тонкого тела во льду возникает присоединенная ударная волна, на фронте которой происходиг разрушение льда. Плавления льда на фронте волны не будет, так как в работе [1] экспериментально по-казано, что плавление льда на фронте волны наблюдается только при интенсивности волны большей 22-10° Па. В нашей задаче на рассматриваемом днаназоне скоростей удара такое давление не достигается. Перед фронтом разрушения распространяются акустические волны, под действием которых напряжения в среде достигают предела прочности P_{α} , составляющего для льда 2—5-10° Па. При прохождении ударной полны по льду за ее фронтом происходят необратимые объемные деформации, связанные с разрушением материала, в том числе вор, содержащих пузырьки воздуха, поэтому лед за ударной волной можно рассматривать как пластически сжимаемую среду. Сделаем допущение о том, что плотность льда меняется только на ударной волне и определяется интепсициостью волны, а тенаор напряжения в среде ла фронтом волны шаровой.

Для расчета движения тела во льду воспользуемся моделью, предложенной в работе [2] для решения задачи о проникании тонкого тела в пластически сжимаемую среду. В модели предполагается, что при описании движения среды вблизи тела можно применять гипотезу плоских сечений

Задачу будем рассматривать в цилиндрической системе координат ℓ , а ось ℓ направлена по оси тела вниз (фиг. 1). Пусть в момент времени ℓ вершина конуса находится на глубине $H(\ell)$, а его скорость равна $H(\ell)$. Исследуем движение среды в некотором произвольном сечении ℓ . В момент, когда вершина конуса коснулась плоскости ℓ , я илоскости в соответствии с используемой гипотезой плоских сечений возникла цилиндрическая ударная волна. В последующие моменты времени область возмущенного движения среды в плоскости ℓ будет заключена между двуми окружностями: радиус внешней окружности равен координате фронта ударной волны $\ell = \ell$, внутренней границей области будет окружность радиуса

X (t), яраяющаяся динией пересечения поверхности тела с рассматриваемон плоскостью 2

$$R(t) = [H(t) - z] \gamma$$

Уравнения движения и перадрывности среды в сечении 2 имеют следующий вид:

$$\rho_0 r \frac{\partial^2 u}{\partial t^2} = (r + u) \frac{\partial P}{\partial r}$$

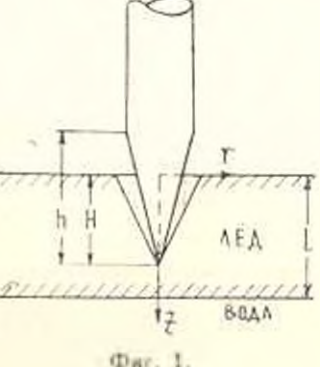
$$\frac{1}{2} \frac{\partial}{\partial r} (r + u)^2 = \frac{p_0}{r} r$$
(1.1)

где ℓ — координата Λ агранжа, $\ell\ell$ — перемещение частицы |p|, p — начальная и текущая илотность льда, μ — давление.

Законы сохранения массы и импульса на фронте ударной волны при $f = r^*$ в сечении =ээпишутся в виде;

$$p_0 D u^* = P^* - P_0$$

эдесь D— скорость ударной нолны, u^{ε} — скорость частиц на ударной волне, Ро — данленне перед фронтом волны, P° - давление на ударной волне.



Граничные условия для системы (1.1) будут следующие:

при
$$r = 0$$
 $u(0, t) = R(t)$ при $r = r^*$ $P = P^*$, $u = u^*$, $u = 0$

Решая полученную систему уравнении, найдем давление P. (z), действующее на коническую поверхность проникающего тела

$$P_{s}(z) = \frac{\rho_{0}}{2b} \left(\ln \frac{1}{1-b} \right) (H-z) H \gamma^{2} + \frac{1}{2b} \left(\ln \frac{1}{1-b} + b \right) H^{2}, \quad P_{s}(z) = \frac{\rho_{0}}{2b} \left(\ln \frac{1}{1-b} + b \right) H^{2}$$

Параметр $b = \rho_e n$ определяется по значению плотности за ударной волной в начальный момент проникания. В этот момент давление на фронте волны рашно

$$P^{\pm} = P_0 + 5_0 v_{Al}^{2_{\alpha} \pm}$$

Из динамической кривой сжатия дьда по вычисленному значению P^{\pm} находят значение плотности р. Экспериментальная динамическая кривая сжатия льда с начальной илотностью р = 920 кг/м принедена в работе [1]

Определим силу сопротивления, деиствующую в вертикальном направлении на коническую часть тела, расположенную выше линии раздела ACJ-803a.

При глубине проинкания H < h сила сопротивления ранна

$$F_{s} = 2\pi \gamma^{2} \int_{0}^{H} (H - z) P_{s}(z) dz = i_{s} H^{3} H + i_{s} H^{2} \dot{H}^{3} + 3H^{2}$$

$$\theta_b = \pi_1^4 \frac{p_0}{3b} \ln \frac{1}{1-b}; \quad \sigma_b = \pi_1^4 \frac{p_0}{2b} \left(\ln \frac{1}{1-b} + b \right); \quad \beta = \pi_1^4 P_0/2$$

При дальненшем проникании, когда H становится больше длины конической части проникающего тела — происходит отрый среды от боколой поверхности в точке z = H - h и поверхность контакта конуса со зъдом не меняется до того момента, пока вершина тела не колнется лишии раздеза вед-вода. Сила сопротивления на эт м участке пределяется по формуло

$$F_{1} = 2\pi \gamma^{2} \int_{A}^{H} (H - z) P_{1}(z) dz = \epsilon_{1} h^{2} H + \alpha_{2} h^{2} H + \beta h^{2}$$

При глубине произкания H>1 сила сопротивления со стороны льда действует только на ту часть конуса, которан находится имше линии раздела, на вижнюю часть конуса действует сила сопротивления воды. Сила F_{\star} будет райна

$$F_{\lambda} = 2\pi \gamma^{2} \int_{-1}^{1} (H-z) P_{\lambda}(z) dz$$

$$= \lambda_{\lambda} [h^{2} - (H-l)^{2}] H + 2 [h^{2} - (H-l)^{2}] H^{2} + 2 [h^{2} - (H-l)^{2}]$$

Перейдем к рассмотренню движения тела в воде и определим силу сопротивления воды. Как показывают исследования, ялиянием сжимаемости воды при проникании тонких тел в первом приближении можно пренебречь, поэтому будем в качестве модели яоды использовать модель идеальной несжимаемой жидкости.

Пусть в момент времени t_1 когда вершина конуса достигла линии раддела лед-вода, скорость тела равна V_1 . До момента $t = t_1$ жидкость поконлась. Движение, возникшее в жидкости при $t > t_1$ будет потепциальным. Потенциал скорости q(t, z, t) удовлетворяет уравнению Лапласа

$$\Delta z = 0$$

Поскольку для модели проникания тела в лед была принята гипотеза плоских сечений, то граничное условие на поверхности раздела 2 — 1 для любого момента времени будет иметь вид

$$\frac{d\varphi}{dz} = 0$$

Граничное условие на поверхности тела в силу малости угла у запишется так

$$\frac{ro}{\partial r} = \frac{iH\gamma}{0}, \qquad (1.2)$$

Здесь H=H=l, а функция у задается в виде

$$\eta = \begin{cases} 0, & \bar{H} \leqslant h \\ \bar{H} - h, & \bar{H} > h \end{cases}$$

Продолжим потенциал скорости на основании принципа симметрии четным образом на перхиюю полуплоскость и представим его в виде

$$\frac{1}{4\pi} \int_{-\pi}^{\pi} \frac{q(z)}{(z-z)^2 + r^2}$$
 (1.3)

Задача свелась к определению функции q (\pm). В работе [3] показано, что на образующен тонкого тела справедливо соотношение

$$\left(\frac{d\varphi}{\partial r}\right)_{r=0} = \frac{1}{2^{-}} \frac{q(z)}{r}$$

Используя граничные условия (1.2) в рамках линейного приближения можно записать

$$q(z) = \begin{cases} 0, & z > H \\ 2\pi \gamma^{2} (H-z) H, & \eta = z \leqslant H \\ 0, & -\eta < z < \eta \\ 2\pi \gamma^{2} (H+z) H, & -H \leqslant z \leqslant -\eta \\ 0, & z < -H \end{cases}$$
 (1.4)

Для упрощения эпак « ~ » над величной H временно опустим. На основании (1.4) потенциал скорости (1.3) представится формулов.

$$\tau = -\frac{1}{2} \gamma^{2} H \left\{ \int_{y}^{H} \sqrt{\frac{(\xi - z)^{2} + r^{2}}{(\xi - z)^{2} + r^{2}}} + \int_{H}^{\eta} \frac{(H + \xi) dz}{1 (\xi - z)^{2} + r^{2}} \right\}$$

Из линеаризованного уравнения Коши-Лагранжа определим давление, действующее на коническую поверхность тела

$$P_n(z) = -g_n \frac{\partial z}{\partial t}$$

Рассмотрим два случая в зависимости от глубины проникания тела в воду.

 а) глубина процикания в воду меньше 4, то есть в воде находится только коническая часть тела. В этом случае давление и сила сопротивления соответственно равны

$$P_{n}(z) = \frac{1}{2} P_{n} \gamma^{2} H \left[(H - z) \left(\ln \frac{4}{\gamma^{2}} - 2 \right) + \ln \frac{H + z}{H} + \frac{1}{2} \ln \frac{H^{2} - z^{2}}{z^{2}} \right] + \frac{1}{2} P_{n} \gamma^{2} H \left(\ln \frac{L}{\gamma^{2}} - \ln \frac{H + z}{H - z} \right)$$

$$F_{n} = 2 - \gamma^{2} \int_{0}^{H} (H - z) P_{n}(z) dz = r_{n} H^{3} H - r_{n} H^{2} H^{2}$$

$$- \frac{2}{3} \ln \gamma + 2 \ln 2 - 1$$

$$\sigma_{n} = - \frac{1}{3} \left(- \ln \gamma - 3 \ln 2 - 1 \right)$$

б) глубина проникания в воду больше /

$$P_{*}(z) = \frac{1}{2} \rho_{*} \gamma^{2} \hat{H} \left[(H - z) \left(\ln \frac{4}{\gamma^{2}} - 2 \right) + H \ln \frac{H + z}{H - z} \frac{z - \eta}{z + \eta} + \frac{1}{2} \rho_{*} \gamma^{2} \hat{H}^{-1} \left[\ln \frac{4}{\gamma^{2}} + \ln \frac{H + z}{H - z} \frac{z - \eta}{z + \eta} \right] \right]$$

$$= \frac{h}{1 \left[(z - \eta)^{2} + (H - z)^{2} \gamma^{2} - \frac{h}{1 \left[(z + \eta)^{2} + (H - z)^{2} \gamma^{2} \right]} \right]}$$

Следует отметить, что вершина тела и линия стыка конической части с цилиндрической являются особыми точками. Около першины конуса давление стремится к бесконсчности, а вблизи зинии стыка позникает область разрежения. Нижнюю границу области разрежения можно определить из решения ураппения

$$P_*(z) = 0 \tag{1.5}$$

Расчеты показывают, что основной вклад в величину давления составляет член, пропорциональный H , поэтому членом H можно пренебречь, и тогда уравнение (1.5) сводится к виду

$$\ln \frac{4}{\gamma^{2}} + \ln \frac{H + z}{H - z} \frac{z - \eta}{z} - \frac{h}{\sqrt{(z - \eta)^{2} + (H - z)^{2} \gamma^{2}}} = 0$$

Сила сопротивления, действующая на тело, определяется по формуле

$$F_{\alpha} = 2\pi \gamma^{-1} + H = z + P_{\alpha}(z) dz = Hf(H_{\alpha}) + H = \alpha + H_{\alpha}(z) dz$$

$$g(H, z) = (H - z)^{2} \ln \frac{2}{z} + \frac{(H - z)^{2}}{2} \ln \frac{H + z}{H - z} \frac{z - y}{z - y} + \frac{z - y}{z - y} + \frac{2H^{2} \ln \frac{2H}{H + a}}{H + a} + \frac{1}{2} h^{2} \ln \frac{h}{a - \eta} - (H + \eta) \left(H + \frac{h}{2}\right) \ln \frac{H + \eta}{a + \eta} - \frac{2h}{z - \eta + 1/(a - \eta)^{2} + (H - a)^{2} \gamma^{2}}$$

$$f(H, z) = \frac{2}{3} (H - a)^{3} \left(\ln \frac{2}{\gamma} - 1\right) + H \left[-h(H - a) + \frac{(H - x)^{2}}{2} \ln \frac{H + a}{H - a} \frac{z - \eta}{z + \eta} - \frac{1}{2} (H + \eta)^{3} \ln \frac{H + \eta}{z + \eta} + \frac{h^{2} \ln \frac{h}{a - \eta}}{H - a} + 2H^{2} \ln \frac{2H}{H - a}\right] + \frac{1}{3} \left[\frac{H^{3} \ln \frac{H^{2} - \eta^{2}}{a + \eta}}{4H^{2}} \frac{H + z}{H - a} + \frac{z \ln \frac{H - \eta}{H - \eta}}{H - \eta} \frac{z - \eta}{z + \eta} - z^{3} \ln \frac{x^{2} - \eta^{2}}{H - z^{2}} + 2(H^{2} - \eta^{2})(H - z)\right] - \frac{H}{2} \left[H^{3} \ln \frac{H^{2} - z^{2}}{H^{2} - z^{2}} + (z^{2} - \eta^{2}) \ln \frac{x^{2} - \eta^{2}}{H^{2} - z^{2}}\right]$$

« — нижняя граница области разрежения.

Объединим полученные решения и найдем зависимость между скоростью тела и глубиной проникания. Закон движения тела массы т будет

$$mH = -(F_x + F_n)$$

Выделим в процессе пропикания четыре атапа в зависимости от глубины проникания (фиг. 2).

1. Глубина проникания H = h

Уравнение движения тела имеет вид

$$mH = -(L_3H^3H + 2H^3H + 2H^3H)$$

$$H(0) = V$$

Решение этого уравнения пред-

$$H = \left[-\frac{3}{2_{3}} + \left(V^{2} + \frac{3}{2_{3}} \right) \times \right] \times \left(1 + \frac{3}{2_{3}} + \frac{3}{2_{3}} \right)^{-2\tau_{1}} \frac{3\tau_{1}}{2_{3}}$$

$$\times \left(1 + \frac{3}{2_{3}} + \frac{3\tau_{1}}{2_{3}} \right)^{-2\tau_{2}} \frac{3\tau_{1}}{2_{3}}$$
(1.6)

$$mH = -(\lambda_{A}h^{3}H - \lambda_{A}h^{6}\dot{H}^{2} + \beta h^{2})$$
$$H(h) = V_{h}$$

 V_h виачение скорости тела на глубине H=h, вычисленное по формуле (1.6).

Решение уравнения:

$$H = \left\{ -\frac{\beta}{a_h} + \left(V_h^2 + \frac{\beta}{a_h} \right) \exp \left[-\frac{2\pi_h h^2}{m + \ell_h h^2} (H - h) \right] \right\}^{1/2}$$
 (1.7)

3. Глубина l < H = l + h

В этом случае на нижнюю часть копуса действует сила сопротивления со стороны жидкости, а на верхиюю — сила сопротивления льда. Уравнение движения имеет вид

$$mH = -\left[\iota_{s}\left(h^{s} - \tilde{H}^{s}\right)\tilde{H} + \tilde{H}^{s}a_{s}\left(h^{s} - \tilde{H}^{s}\right) - 3\left(h^{s} - \tilde{H}^{s}\right) - 4\left(h^{s} - \tilde{H}^{s}\right) + \iota_{s}\tilde{H}^{s}H + 3\tilde{H}^{s}H + 3\tilde{H}$$

 V_1 — значение скорости, найденное по формуле (1.7) для H=l. В общем случае уравнение не имеет аналитического решения. Если скорость проникания достаточно велика, то, как показали расчеты, вклад члена, про-порционального величине β , мал на всех атапах и этим членом можно пренебречь. В атом случае уравнение имеет аналитическое решение:

$$H = V_I \exp\left[-Q(\tilde{H})\right]$$

Функция Q (х) задается в виде

$$Q(x) = \frac{a_{x} - x_{y}}{a_{x} - x_{y}} \left[\frac{1}{3} \ln \frac{a^{2} - x^{3}}{a^{3}} - \frac{b}{6a^{n}} \ln \frac{(a - x)^{2}}{a^{3} + ax - x^{3}} + \frac{b}{a^{2} | 3} \arctan \left(\frac{2x + a}{a | 3} - \frac{\pi}{6} \right) \right]$$

$$a^{2} = \frac{m + a^{2}}{a^{2} | 3} : b = \frac{a_{x}h^{2}}{a_{x} - a_{x}}$$

4. Глубина проникания H > l + h

$$mH = -\left[Hf(H, x) + H^{2}g(H, x)\right]$$

$$H(l+h) = v_{l+h}$$

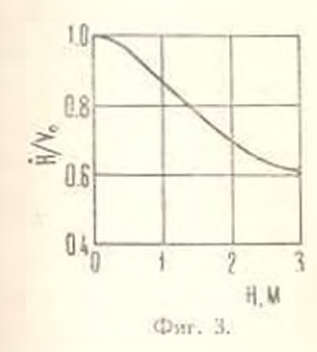
Решение урапнения

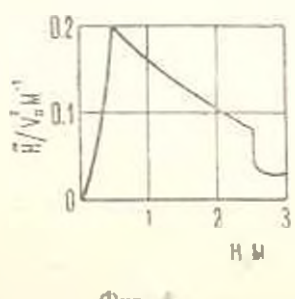
$$H = v_{1+h} \exp\left(-\int_{-\pi}^{\widetilde{H}} \frac{a(\widetilde{H}, a)}{m + f(\widetilde{H}, a)} d\widetilde{H}\right)$$

Расчеты показали, что величина f (H, a) значительно меньше массы тела m, а значения функции $g(H,\alpha)$ мало меняются при увеличении HПолагая $g(H, \alpha) = \text{const} = G$ формулу можно упростить

$$H = V_{-h} \exp \left[-\frac{G}{m} (H - h) \right]$$

Результаты расчетов для тель массы 10 кг. с углом полураствора $r_0 = 10^{\circ}$, высотой конической части h = 0.5 м и значением довлиым 4h. представлены на графиках. На фиг. 3 показана зависимость скорости тела от глубины провикания. На фиг. 4 показано наменение ускорения тела





Фат. 4.

в процессе движения. Следует отметить, что максимальная величина ускорения достигается на глубние H=1 далее наблюдается монотонный спад ускорския до глубины H = I + n, после начала входа в воду цилиндрической части ускорение резко падает.

սաթուցցը Շերջի Միջով Մարսեի Թաժանցումը Հեղորդի Մեջ

Ա. 80, ՍԱԳՈՄՈՆՅԱՆ, Ե. Ո. ԳԱԵԼՍԿՍՅԱ

Հայ Համասն ուսումնասիրվում է վերջավոր շաստութկյամբ ստաուլդի շերտի ժիլով այրեղ, ենց կանի ենրիափակցումը իդևայական անակցմելի Հեցուկի մեջ, որը գրադեցնում է կիստոասրածությունը։ Ծանրության ուժերը արհամարվում են անկադրատում է, որ սառույցի մեջ ներβափանցման պրոցեսը տեղի է ունենում թուլթայման հակերևույթի (այիքի) առաջացումով, օառու թի հայում տեղի լի ունենում։ Արդեն ենքիադրությունը շիմնված է դր փանության առնել [1] <mark>աշխատահրի արդյուն</mark>ըների միրա։ Ստացվ 💜 է ներիափանցմ 🦠 օրենքը որոչոց անայիաիկ փակ բանաձևեր։

THE PENETRATION OF A BODY INTO WATER THROUGH A L AYER OF ICE

A. Ja. SAGOMON!AN, I. S. GAEVSKAYA

Summary

In the paper the problem of vertical penetration of a rigid narrow cone through a layer of ice of finite thickness in ideal incompressible fluid occupying half the space is investigated. The gravitation forces are neglected. It is supposed that the process of penetration in a layer of ice is realized with the formation of the surface (wave) of fracture; the melting (thaw) of ice does not occur. The latter assumption is based on the results of paper [1] in the reference list. Closed analytical formulae, determining the law of penetration, are obtained.

AHTEPATIPA

- Schrooder R. C., Mc, Master W. H. Shock compression freezing and molting of water and ice — J. Appl. Phys., 1973, 44, No. 6, p. 2591—2594.
- 2. Сазимоняя Л. Я. Проняхание. М.: Илд. МГУ, 1974.
- 3. Багдоев А. Г. Пространственные нестационарные движения сплошной среды с ударными волнами. Ереван: Изд. АН Арм.ССР, 1961.

Москопский государственный университет

Поступила и редакцию 25. X. 1982